

111

# ИЗВЕСТИЯ

## ВЫСШИХ УЧЕБНЫХ ЗАВЕДЕНИЙ

### РАДИОЭЛЕКТРОНИКА

ОТДЕЛЬНЫЙ ОТТИСК

№ 11

КИЕВ — 1989

223

УДК 621.391.8

## ОЦЕНКА ЗАДЕРЖКИ РАДИОСИГНАЛА ПРИ НЕИЗВЕСТНОМ СРЕДНЕМ ЗНАЧЕНИИ МОДУЛИРУЮЩЕЙ ПОМЕХИ

А. П. ТРИФОНОВ, А. В. ЗАХАРОВ

Установлены структуры приемника максимального правдоподобия и существенно более простого квазиоптимального приемника для оценки задержки радиосигнала на фоне белого шума. Найдены дисперсии оценок, получаемых с помощью синтезированных приемников.

Помехоустойчивость систем передачи информации существенно ограничивается модулирующими (мультипликативными) помехами, неизбежно присутствующими в реальных каналах связи. В частности, воздействие модулирующих помех приводит к расширению полосы частот, занимаемой спектром сигнала. Кроме того, коэффициент передачи реальных радиоканалов и фаза сигнала на выходе радиоканала, как правило, неизвестны. В этой связи рассмотрим прием радиоимпульса

$$s(t, \tau_0, \varphi_0) = \xi(t) I[(t - \tau_0)/\gamma] \cos(\omega_0 t - \varphi_0), \quad (1)$$

искаженного модулирующей помехой  $\xi(t)$ , на фоне гауссовского белого шума  $n(t)$  с односторонней спектральной плотностью  $N_0$ . Здесь  $I(x) = 1$  при  $|x| < 1/2$  и  $I(x) = 0$  при  $|x| \geq 1/2$ ,  $\xi(t)$  — реализация стационарного гауссовского случайного процесса, описывающего паразитную модуляцию радиосигнала, причем  $M[\xi(t)] = a_0$ ,  $M[\{\xi(t) - a_0\} [\xi(t + \lambda) - a_0]] = K(\lambda)$ ,  $\gamma$  — длительность,  $\omega_0$  — несущая частота радиосигнала. Задержка  $\tau_0$ , начальная фаза  $\varphi_0$  сигнала (1) и коэффициент передачи радиоканала  $a_0$  априори неизвестны. Спектр мощности модулирующей помехи  $\xi(t)$  представим в виде  $G(\omega) = G_0 f(\omega/\Omega)$ . Функция  $f(x) = f(-x)$  описывает форму спектра мощности и нормирована так, что  $\max f(x) = f(0) = 1$ ,  $\int_{-\infty}^{\infty} f^2(x) dx = 1$ ,  $\Omega = \int_{-\infty}^{\infty} G^2(\omega) d\omega G_0^{-2}$  — эквивалентная полоса частот модулирующей помехи.

Для оценки неизвестной задержки  $\tau$  радиосигнала (1) используем приемник максимального правдоподобия (ПМП) [3], который вырабатывает логарифм функционала отношения правдоподобия (ФОП). Аналогично [2] будем считать, что длительность  $\gamma$  радиосигнала (1) существенно больше времени корреляции модулирующей помехи, т. е.

$$\mu \gg 1, \quad \mu = \gamma \Omega / 4\pi. \quad (2)$$

Кроме того, полагаем радиосигнал (1) узкополосным, так что  $\gamma \omega_0 / 2\pi \gg 1$ ,  $\omega_0 \gg \Omega$ .

Пусть  $x(t) = s(t, \tau_0, \varphi_0) + n(t)$ ,  $t \in [-T/2; T/2]$  — наблюдаемая реализация, причем  $s(t, \tau_0, \varphi_0)$  и  $n(t)$  статистически независимы. Тогда при  $T \gg \gamma$  и при выполнении (2) можем, следуя [2, 3], записать логарифм ФОП для всех неизвестных параметров  $\tau$ ,  $a$ ,  $\varphi$  сигнала (1)

$$L(\tau, a, \varphi) = \frac{1}{2} \int_{-\infty}^{\infty} y^2(t, \tau, \varphi) dt + \frac{2a}{N_0(1+q)} \int_{\tau-\gamma/2}^{\tau+\gamma/2} x(t) \cos(\omega_0 t - \varphi) dt - \frac{\gamma a^2}{2N_0(1+q)}, \quad q = G_0/N_0. \quad (3)$$

$$\text{Здесь } y(t, \tau, \varphi) = \int_{\tau-\gamma/2}^{\tau+\gamma/2} x(t') H(t - t') \cos(\omega_0 t' - \varphi) dt', \quad (4)$$

спектр функции  $H(t)$  [4] удовлетворяет соотношению

$$|H(j\omega)|^2 = 4qf(\omega/\Omega)/N_0 [1 + qf(\omega/\Omega)]. \quad (5)$$

Выражение (3) можно существенно упростить, если, аналогично [2], пренебречь ошибками измерения времени задержки порядка времени корреляции модулирующей помехи, т. е. порядка  $2\pi/\Omega$ . Такое пренебрежение допустимо, если  $q$  не слишком велико [2, 4]. Тогда, учитывая (2), можем приблизенно переписать (4) как

$$\begin{aligned} y(t, \tau, \varphi) &\approx I[(t - \tau)/\gamma] \int_{-\infty}^{\infty} x(t') H(t - t') \cos(\omega_0 t' - \varphi) dt' = \\ &= I[(t - \tau)/\gamma] [X_1(t) \cos \varphi + Y_1(t) \sin \varphi], \\ \begin{Bmatrix} X_1(t) \\ Y_1(t) \end{Bmatrix} &= \int_{-\infty}^{\infty} x(t') H(t - t') \begin{Bmatrix} \cos \omega_0 t' \\ \sin \omega_0 t' \end{Bmatrix} dt'. \end{aligned} \quad (6)$$

Подставляя (6) в (3), получаем

$$\begin{aligned} L(\tau, a, \varphi) &= \int_{\tau - \gamma/2}^{\tau + \gamma/2} [X_1(t) \cos \varphi + Y_1(t) \sin \varphi]^2 dt / 2 + \\ &+ \frac{2a}{N_0(1+q)} [X_2(\tau) \cos \varphi + Y_2(\tau) \sin \varphi] - \frac{\gamma a^2}{2N_0(1+q)}, \\ \begin{Bmatrix} X_2(\tau) \\ Y_2(\tau) \end{Bmatrix} &= \int_{\tau - \gamma/2}^{\tau + \gamma/2} x(t) \begin{Bmatrix} \cos \omega_0 t \\ \sin \omega_0 t \end{Bmatrix} dt. \end{aligned} \quad (7)$$

Для того чтобы исключить влияние неизвестных параметров  $a, \varphi$  [3], надо максимизировать по ним логарифм ФОП (7). В результате получим выходной сигнал ПМП

$$L(\tau) = \max_{a, \varphi} L(\tau, a, \varphi) = [L_1(\tau) + \sqrt{L_2(\tau)}]/4; \quad (8)$$

$$L_1(\tau) = X(\tau) + Y(\tau); \quad L_2(\tau) = [X(\tau) - Y(\tau)]^2 + 4Z^2(\tau); \quad (9)$$

$$\begin{Bmatrix} X(\tau) \\ Y(\tau) \end{Bmatrix} = \int_{\tau - \gamma/2}^{\tau + \gamma/2} \begin{Bmatrix} X_1^2(t) \\ Y_1^2(t) \end{Bmatrix} dt + \frac{4}{\gamma N_0(1+q)} \begin{Bmatrix} X_2^2(\tau) \\ Y_2^2(\tau) \end{Bmatrix},$$

$$Z(\tau) = \int_{\tau - \gamma/2}^{\tau + \gamma/2} X_1(t) Y_1(t) dt + \frac{4}{\gamma N_0(1+q)} X_2(\tau) Y_2(\tau).$$

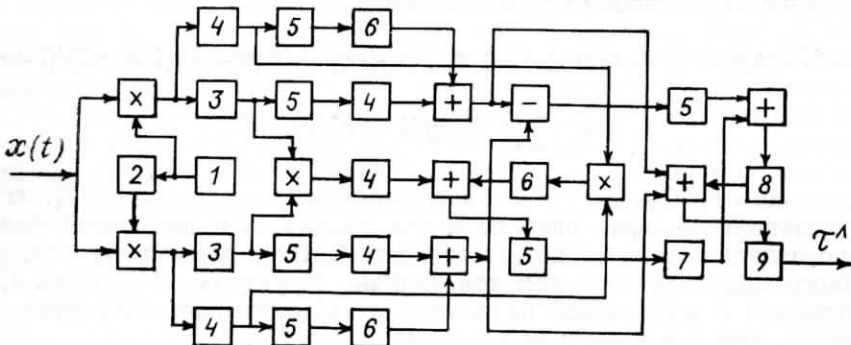


Рис. 1

Оценка максимального правдоподобия (ОМП) неизвестной задержки радиосигнала (1) определяется как  $\hat{\tau} = \arg \sup L(\tau)$  [3]. Согласно (8), ПМП можно реализовать в виде (рис. 1), где обозначено: 1 — генератор гармонического сигнала с частотой  $\omega_0$ ; 2 — фазовращатель на  $\pi/2$ ; 3 — фильтры с передаточной функцией  $H(j\omega)$  (5); 4 — фильтры, согласованные с импульсом  $I(t/\gamma)$ ; 5 — квадраторы; 6, 7 — усилители

с коэффициентами усиления, пропорциональными  $4/\gamma N_0(1+q)$  и 4 соответственно; 8 — блок извлечения квадратного корня; 9 — решающее устройство, фиксирующее положение  $\tau^*$  абсолютного максимума сформированного сигнала.

Найдем характеристики ОМП  $\tau^*$ . Для этого введем вспомогательные функции  $S_i(\tau) = \mathbf{M}[L_i(\tau)]$ ,  $N_i(\tau) = L_i(\tau) - \mathbf{M}[L_i(\tau)]$ ,  $i = 1, 2$  и преобразуем (8) к виду

$$L(\tau) = \{S_1(\tau) + N_1(\tau) + \sqrt{[S_2(\tau) + N_2(\tau)]}/4\}. \quad (10)$$

Положим, что оценка  $\tau^*$  обладает высокой апостериорной точностью [2, 3]. Тогда достаточно ограничиться исследованием поведения функции (10) в окрестности истинного значения задержки  $\tau_0$ , малой по сравнению с длительностью  $\gamma$  радиосигнала (1). В этой окрестности отношение  $\kappa = \mathbf{M}[N_2^2(\tau)]/S_2^2(\tau) \leq 16(1+q)^2/[2\mu q^2 + z_0^2(1+q)]$ , где  $z_0^2 = a_0^2\gamma/N_0$  — отношение сигнал — шум для неискаженной части радиосигнала (1).

$$\text{Если } 2\mu q^2/(1+q)^2 + z_0^2/(1+q) \gg 1, \quad (11)$$

то  $\kappa \ll 1$ .

Положим, далее, что кроме (2) выполняется также (11). Тогда в малой окрестности  $\tau_0$  функцию (10) можно представить как

$$L(\tau) = [S_1(\tau) + N_1(\tau) + \sqrt{S_2(\tau) + N_2(\tau)}]/2\sqrt{S_2(\tau)}/4 = S(\tau) + N(\tau), \quad (12)$$

где  $S(\tau) = [S_1(\tau) + \sqrt{S_2(\tau)}]/4$  — сигнальная,  $N(\tau) = [N_1(\tau) + N_2(\tau)]/2\sqrt{S_2(\tau)} \times (1/4)$  — шумовая функции [2, 3]. Согласно (12), отношение сигнал — шум на выходе измерителя (8) определяется выражением  $z^2 = S^2(\tau_0)/\mathbf{M}[N^2(\tau_0)] = (\mu q\alpha + z_0^2/2)^2 [\mu q^2 + z_0^2(1+q)]^{-1}$ ,  $\alpha = \int_{-\infty}^{\infty} qf^2(x)[1+qf(x)]^{-1}dx$ . При выполнении (2) и  $z^2 \gg 1$  ОМП задержки радиосигнала (1) обладает высокой апостериорной точностью [2...4]. Поскольку всегда  $z^2 \geq [2\mu q^2/(1+q)^2 + z_0^2/(1+q)]/4$ , то высокая апостериорная точность оценки обеспечивается условиями (2), (11).

Можно показать, что в малой окрестности  $\tau_0$  выходной сигнал ПМП (12) имеет такие же (с точностью до значений коэффициентов) характеристики, как и в [2]. Следовательно, воспользовавшись методом локально-марковской аппроксимации, получаем дисперсию ОМП  $l^* = \tau^*/\gamma$  нормированной задержки  $l_0 = \tau_0/\gamma$

$$\sigma_0^2 = 13\{\mu(q^2 + \beta) + z_0^2[1 + (1+q)^3]/(1+q)^2\}^2 \{\mu q\alpha + z_0^2(1+q/2)/(1+q)\}^{-4}, \quad (13)$$

$$\beta = \int_{-\infty}^{\infty} q^2 f^2(x)[1+qf(x)]^{-2}dx.$$

Сравнивая эту формулу с аналогичными выражениями в [2], видим, что незнание коэффициента передачи канала  $a_0$  и начальной фазы  $\phi_0$  радиосигнала (1) не влияет на точность ОМП задержки сигнала, искаженного модулирующей помехой. Однако структура ПМП (рис. 1) радиосигнала с неизвестной начальной фазой оказывается заметно более сложной, чем при известной начальной фазе [2].

Основные трудности в реализации ПМП вызывает формирование второго слагаемого  $\sqrt{[L_2(\tau)]}$  в правой части (8). Структуру измерителя задержки можно существенно упростить, если использовать квазиоптимальную оценку  $\tau_1^* = \arg \sup L_1(\tau)$ . Согласно (9), квазиоптимальный измеритель задержки может быть реализован в виде, показанном на рис. 2, где обозначено: 1 — узкополосный фильтр с импульсной переходной функцией  $H(t) \cos \omega_0 t$ ; 2 — фильтр, согласованный с радиоимпульсом  $I(t/\gamma) \cos \omega_0 t$ ; 3 — квадратичные детекторы; 4 — усилитель с коэффициентом усиления  $4/\gamma N_0(1+q)$ ; 5 — фильтр, согласованный с импульсом  $I(t/\gamma)$ ; 6 — решающее устройство.

Учитывая нормировку функции  $f(x)$ , для отношения сигнала — шум на выходе квазиоптимального измерителя получаем

$$z_1^2 = S_1^2(\tau_0)/\mathbf{M}[N_1^2(\tau_0)] \geq [2\mu q^2/(1+q)^2 + z_0^2/(1+q)]/4.$$

Следовательно, квазиоптимальная оценка  $\hat{\tau}_1$ , получаемая с помощью измерителя (рис. 2), обладает высокой апостериорной точностью, когда выполняются (2), (11).

Можно показать, что выходной сигнал (9) квазиоптимального измерителя в малой окрестности  $\tau_0$  имеет такие же (с точностью до зна-

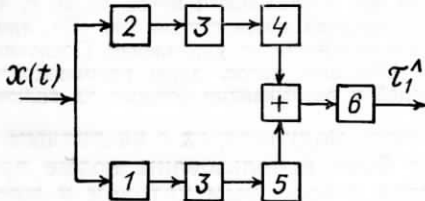


Рис. 2

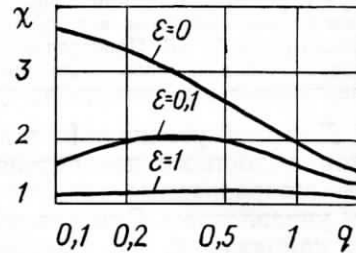


Рис. 3

чений коэффициентов) характеристики, как в [2]. Поэтому при выполнении (2), (11) воспользуемся методом локально-марковской аппроксимации и получим дисперсию квазиоптимальной оценки  $I_1^* = \hat{\tau}_1^*/\gamma$  нормированной задержки  $l_0 = \tau_0/\gamma$

$$\sigma_1^2 = 13 \{ \mu (q^2 + 3\beta) + z_0^2 [1 + (1+q)^3]/(1+q)^2 \}^2 \{ \mu q \alpha + z_0^2 (1+q/2)/(1+q) \}^{-4}. \quad (14)$$

Используя (13), (14), находим проигрыш в точности оценки при использовании квазиоптимального измерителя (рис. 2) вместо ПМП (рис. 1)  $\chi = \sigma_1^2/\sigma_0^2 = \{ \mu (q^2 + 3\beta) + z_0^2 [1 + (1+q)^3]/(1+q)^2 \}^2 \{ \mu (q^2 + \beta) + z_0^2 [1 + (1+q)^3]/(1+q)^2 \}^{-2}$ . Зависимости проигрыша в точности оценки  $\chi = \chi(q)$  для частотного случая полосовой модулирующей помехи со спектром мощности  $f(x) = I(x)$  показаны на рис. 3. Кривые рассчитаны для различных значений параметра  $\epsilon = z_0^2/2\mu q$ , который имеет простой физический смысл при полосовой модулирующей помехе. Именно,  $\epsilon = 4\pi a_0^2/G_0\Omega = -a_0^2/K(0)$ , т. е. представляет отношение мощности неискаженной составляющей радиосигнала (1) к средней мощности составляющей радиосигнала, искаженной модулирующей помехой. Как следует из рис. 3, проигрыш в точности оценки при использовании квазиоптимального измерителя (рис. 2) вместо ПМП (рис. 1) быстро падает с ростом  $\epsilon$ .

Полученные результаты позволяют сделать обоснованный выбор между ПМП (рис. 1) и квазиоптимальным измерителем (рис. 2) задержки радиоимпульса (1) в зависимости от требований, предъявляемых к точности оценки и к степени простоты технической реализации измерителя.

#### БИБЛИОГРАФИЧЕСКИЙ СПИСОК

1. Кремер И. Я., Владимицов В. И., Карпухин В. И. Модулирующие помехи и прием радиосигналов.— М.: Сов. радио, 1972.— 480 с.
2. Трифонов А. П., Захаров А. В. Прием сигнала с неизвестной задержкой при наличии модулирующей помехи // Радиоэлектроника.— 1986.— № 4.— С. 36—41. (Изв. высш. учеб. заведений).
3. Кулаков Е. И., Трифонов А. П. Оценка параметров сигналов на фоне помех.— М.: Сов. радио, 1978.— 296 с.
4. Вопросы статистической теории радиолокации / П. А. Бакут, И. А. Большаков, Б. М. Герасимов и др.— М.: Сов. радио, 1963.— Т. 1.— 424 с.

Поступила в редакцию после переработки 26.12.88.